

# 一代 Technicolor 模型对稀有衰变 $t \rightarrow cV$ 的贡献\*

王学雷 张义民 杨金民 鲁公儒

(河南师范大学物理系 新乡 453002)

1994-04-19 收稿

## 摘要

计算了一代人工色 (Technicolor) 模型中的赝标哥尔斯通粒子对稀有衰变  $t \rightarrow cV$  ( $V = Z, \gamma, g$ ) 的贡献。与标准模型的贡献相比, 这种新的贡献提高了 3—4 个数量级。对适当的输入参数, 一代 Technicolor 模型对  $t \rightarrow cV$  分支比的贡献最大可达:  $B(t \rightarrow cg) \sim 10^{-6}$ ,  $B(t \rightarrow cZ) \sim 10^{-7}$ ,  $B(t \rightarrow c\gamma) \sim 10^{-8}$ 。

**关键词** 人工色模型, 蕴标哥尔斯通粒子, 味改变中性流, 稀有衰变。

## 1 引言

标准模型中存在味改变中性流 (FCNC), 人们从理论上和实验上对 FCNC 所引起的稀有衰变  $t \rightarrow cV$  进行了深入广泛的研究。研究表明<sup>[1,2]</sup>, 标准模型对  $t \rightarrow cV$  过程的贡献很小, 在实验上很难观测到。因此实验上探测稀有衰变过程  $t \rightarrow cV$  是观察新物理效应的很好方法。文献[2—4]指出: 新物理的贡献可大大提高  $t \rightarrow cV$  过程的分支比。与标准模型对  $t \rightarrow cV$  过程的贡献相比, 双 Higgs 二重态模型和最小超对称模型的贡献都可提高 3—4 个数量级。

我们知道 Technicolor (TC)<sup>[5]</sup> 理论中不存在基本标量粒子, 该理论的能标为  $\Lambda_{TC} = 1\text{TeV}$ , TC 理论在能标  $\Lambda_{TC}$  下预言了大量的赝标哥尔斯通粒子 (PGB), 这些粒子的存在会对可观测量产生一定的物理效应。在 TC 理论中, 蕴标哥尔斯通玻色子与夸克之间存在味改变相互作用<sup>[6]</sup>  $u_i \bar{d}_j P^+ + u_i \bar{d}_j P_{8a}^+$  ( $P^+$ 、 $P_{8a}^+$  分别表示色单态和色八重态 PG 玻色子)。这种相互作用的存在可引起稀有衰变  $t \rightarrow cV$ 。由于这种相互作用与夸克质量成正比, 所以对重的 t 夸克, 可大大提高 TC 理论中的 PGB 对  $t \rightarrow cV$  的贡献。研究和观测这种新物理的贡献, 将为检验 TC 理论提供一种很好的实验方法。

## 2 一代 Technicolor 模型的 PG 玻色子对 $t \rightarrow cV$ 的贡献

一代 TC 理论中的赝标哥尔斯通粒子对  $t \rightarrow cV$  的单圈贡献来自图 1。文献[6, 7]

\* 国家自然科学基金、河南省教委省科委自然科学基金资助。

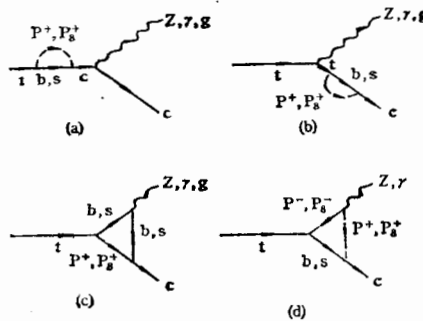


图 1 一代 Technicolor 模型中的赝标哥尔斯通粒子对稀有衰变  $t \rightarrow cV$  单圈贡献的费曼图

给出了计算中用到的费曼规则。

首先, 考虑色八重态 PGB 的贡献,  $t \rightarrow cV$  的有效顶角为

$$V^\mu(t \rightarrow Z) = ie[\gamma^\mu RF_{Z1} + \gamma^\mu LF_{Z2} + p_t^\mu RF_{Z3} + p_t^\mu LF_{Z4}], \quad (1)$$

$$V^\mu(t \rightarrow \gamma) = ie[\gamma^\mu RF_{\gamma 1} + \gamma^\mu LF_{\gamma 2} + p_t^\mu RF_{\gamma 3} + p_t^\mu LF_{\gamma 4}], \quad (2)$$

$$V^\mu(t \rightarrow g) = ig_s T^a [\gamma^\mu RF_{g1} + \gamma^\mu LF_{g2} + p_t^\mu RF_{g3} + p_t^\mu LF_{g4}], \quad (3)$$

这里,  $L = \frac{1}{2}(1 - \gamma_b), R = \frac{1}{2}(1 + \gamma_s)$ . 因子  $F_{Vi} = \sum_{\eta=b,s} F_{Vi}(\eta), F_{Vi}(b), F_{Vi}(s)$  分

别表示 b 夸克和 s 夸克的贡献。由于 b、s、d 夸克的贡献分别含有因子  $V_{tb}^{KM}, V_{cb}^{KM}$ 、 $V_{ts}^{KM}V_{cs}^{KM}, V_{td}^{KM}V_{cd}^{KM}$ , 而  $V_{tb}^{KM}V_{cb}^{KM}:V_{ts}^{KM}V_{cs}^{KM}:V_{td}^{KM}V_{cd}^{KM} = 1:1:0.05$ , 所以 d 夸克的贡献被  $V_{td}^{KM}V_{cd}^{KM}$  大大压低, 此外由于 d 夸克的质量比 b、s 夸克的质量小, 也一定程度上减小了 d 夸克的贡献, 在计算中忽略了 d 夸克的影响。因子  $F_{Vi}(\eta)$  的具体表示式为

$$\begin{aligned} F_{V1}(\eta) &= \frac{V_{t\eta}^{KM}V_{c\eta}^{KM}}{4\pi^2 F_T^2} \frac{27m_t m_c}{m_t^2 - m_c^2} \{ k_1^V [2m_\eta^2 B_0(m_t, m_\eta, m_p) + m_t^2 B_1(m_t, m_\eta, m_p) \\ &\quad + m_\eta^2 B_1(m_t, m_\eta, m_p) - 2m_\eta^2 B_0(m_c, m_\eta, m_p) - m_c^2 B_1(m_c, m_\eta, m_p) \\ &\quad - m_\eta^2 B_1(m_c, m_\eta, m_p)] - k_4^V (m_t^2 - m_c^2)[2C_{24} - B_0(m_v, m_\eta, m_\eta) \\ &\quad - m_p^2 C_0 + (m_\eta^2 - m_c^2)C_{11} + (m_c^2 - m_t^2)C_{12}] + 2k_5^V (m_t^2 - m_c^2)C_{24}^* \}, \end{aligned} \quad (4)$$

$$\begin{aligned} F_{V2}(\eta) &= \frac{27V_{t\eta}^{KM}V_{c\eta}^{KM}}{4\pi^2 F_T^2} \left\{ \frac{k_2^V}{m_t^2 - m_c^2} [m_\eta^2(m_t^2 + m_c^2)B_0(m_t, m_\eta, m_p) \right. \\ &\quad + m_t^2(m_\eta^2 + m_c^2)B_1(m_t, m_\eta, m_p) - m_\eta^2(m_c^2 + m_t^2)B_0(m_c, m_\eta, m_p) \\ &\quad - m_c^2(m_\eta^2 + m_t^2)B_1(m_c, m_\eta, m_p)] - k_4^V [(m_\eta^4 - m_\eta^2 m_t^2 - m_\eta^2 m_c^2) \\ &\quad + m_t^2 m_c^2]C_0 + m_c^2(m_t^2 - m_\eta^2)C_{11} + m_\eta^2(m_c^2 - m_t^2)C_{12}] - \\ &\quad \left. k_3^V m_\eta^2 [-B_0(m_v, m_\eta, m_\eta) + 2C_{24} - m_p^2 C_0] + 2k_5^V m_\eta^2 C_{24}^* \right\}, \end{aligned} \quad (5)$$

$$\begin{aligned} F_{V3}(\eta) &= -\frac{27V_{t\eta}^{KM}V_{c\eta}^{KM}}{2\pi^2 F_T^2} m_t \{ k_4^V [(m_c^2 - m_\eta^2)C_{11} - (m_c^2 - m_\eta^2)C_{12} \\ &\quad + m_c^2(C_{21} - C_{23})] + m_\eta^2 k_3^V C_{23} - k_5^V [m_\eta^2(C_0^* + C_{11}^* + C_{12}^* + C_{23}^*) \\ &\quad + m_c^2(C_{11}^* - C_{12}^* + C_{21}^* - C_{23}^*)] \}, \end{aligned} \quad (6)$$

$$F_{V4}(\eta) = -\frac{27V_{t\eta}^{KM}V_{c\eta}^{KM}}{2\pi^2 F_T^2} m_c \{ m_\eta^2 k_3^V (C_{21} - C_{23}) + k_4^V [m_t^2 (C_{23} + C_{12}) - m_\eta^2 C_{12}] \\ - k_5^V [m_t^2 (C_{12}^* + C_{23}^*) + m_\eta^2 (C_0^* + 2C_{11}^* - C_{12}^* + C_{21}^* - C_{23}^*)] \}, \quad (7)$$

(4—6)式中,  $C_{ii} = C_{ii}(m_c, m_V, m_p, m_\eta, m_g)$ ,  $C_{ij}^* = C_{ij}(m_c, m_V, m_\eta, m_p, m_g)$ ,  $m_V$  分别表示 Z、 $\gamma$ 、g 粒子的质量。 $m_p$  为色八重态 PG 玻色子的质量。文献[8]给出了上面用到的二点、三点标准函数  $B_0, B_1, C_0, C_{ij}$  的具体表示。系数  $k_i^V$  可表示为

$$\begin{pmatrix} k_1^Z & k_1^\gamma & k_1^g \\ k_2^Z & k_2^\gamma & k_2^g \\ k_3^Z & k_3^\gamma & k_3^g \\ k_4^Z & k_4^\gamma & k_4^g \\ k_5^Z & k_5^\gamma & k_5^g \end{pmatrix} = \begin{pmatrix} \frac{4}{3} s_W^2 & \frac{2}{3} & 1 \\ \frac{1 - \frac{4}{3} s_W^2}{2 s_W c_W} & \frac{2}{3} & 1 \\ \frac{\frac{2}{3} s_W^2}{2 s_W c_W} & -\frac{1}{3} & 1 \\ \frac{-1 + \frac{2}{3} s_W^2}{2 s_W c_W} & -\frac{1}{3} & 1 \\ \frac{1 - 2 s_W^2}{2 s_W c_W} & 1 & 0 \end{pmatrix} \quad (8)$$

其中  $s_W = \sin \theta_W$ ,  $c_W = \cos \theta_W$ 。我们在计算中采用的是费曼规范和维数正规化, 并且保留了所有粒子的质量。

色八重态 PG 玻色子对  $t \rightarrow cV$  衰变宽度的贡献为

$$\Gamma(t \rightarrow cZ) = \frac{\alpha_e}{16 m_t^3} \sqrt{(m_t^2 - m_c^2 - m_Z^2)^2 - 4m_c^2 m_Z^2} \left\{ -2(m_t^2 + m_c^2 - m_Z^2) \right. \\ \cdot [-2(F_{Z1}^2 + F_{Z2}^2) + m_t^2(F_{Z3}^2 + F_{Z4}^2) + 2m_t(F_{Z1}F_{Z4} + F_{Z2}F_{Z3})] \\ - 8m_t m_c (4F_{Z1}F_{Z2} + m_t F_{Z1}F_{Z3} + m_t F_{Z2}F_{Z4} + m_t^2 F_{Z3}F_{Z4}) \\ + \frac{1}{2m_Z^2} [4[(m_t^2 - m_c^2)^2 - m_Z^2(m_t^2 + m_c^2)](F_{Z1}^2 + F_{Z2}^2) \\ + (m_t^2 + m_c^2 - m_Z^2)(m_t^2 + m_Z^2 - m_c^2)^2(F_{Z3}^2 + F_{Z4}^2) \\ + 16m_t m_c m_Z^2 F_{Z1}F_{Z2} + 4m_c(m_t^2 + m_Z^2 - m_c^2)^2 \\ (F_{Z1}F_{Z3} + F_{Z2}F_{Z4}) + 4m_t(m_t^2 - m_c^2 - m_Z^2)(m_t^2 + m_Z^2 - m_c^2) \\ (F_{Z1}F_{Z4} + F_{Z2}F_{Z3}) + 4m_t m_c (m_t^2 + m_Z^2 - m_c^2)^2 F_{Z3}F_{Z4}] \left. \right\}, \quad (9)$$

$$F(t \rightarrow c\gamma) = \frac{\alpha_e}{16 m_t^3} (m_t^2 - m_c^2) \{ -2(m_t^2 + m_c^2) [-2(F_{\gamma 1}^2 + F_{\gamma 2}^2) \\ + m_t^2(F_{\gamma 3}^2 + F_{\gamma 4}^2) + 2m_t(F_{\gamma 1}F_{\gamma 4} + F_{\gamma 2}F_{\gamma 3})] - 8m_t m_c (4F_{\gamma 1}F_{\gamma 2} \\ + m_t F_{\gamma 1}F_{\gamma 3} + m_t F_{\gamma 2}F_{\gamma 4} + m_t^2 F_{\gamma 3}F_{\gamma 4}) \}, \quad (10)$$

$$\Gamma(t \rightarrow cg) = \frac{\alpha_e}{12 m_t^3} (m_t^2 - m_c^2) \{ -2(m_t^2 + m_c^2) [-2(F_{g1}^2 + F_{g2}^2)$$

$$+ m_t^2(F_{g3}^2 + F_{g4}^2) + 2m_t(F_{g1}F_{g4} + F_{g2}F_{g3})] - 8m_t m_c(4F_{g1}F_{g2} \\ + m_t F_{g1}F_{g3} + m_t F_{g2}F_{g4} + m_t^2 F_{g3}F_{g4})\}, \quad (11)$$

现在考虑色单态赝标哥尔斯通粒子对  $t \rightarrow cV$  的贡献。比较发现, 色八重态 PGB 对  $F_{Vi}(\eta)$  的贡献比色单态的贡献多一个 18 的因子, 因此, 色八重态 PGB 对  $t \rightarrow cV$  衰变宽度的贡献至少比色单态的大二个数量级。在考虑 PGB 的贡献时忽略了色单态的影响。

### 3 结果与讨论

$t \rightarrow cV$  的衰变分支比定义为

$$B(t \rightarrow cV) = \Gamma(t \rightarrow cV)/\Gamma(t \rightarrow W^+b) \quad (12)$$

在进行数值分析时, 取:  $F_T = 123 \text{ GeV}$  ( $F_T$  为 TC- $\pi$  介子的衰变常数),  $V_{tb}^{KM} = V_{cb}^{KM} = 1$ ,  $V_{cc}^{KM} = V_{ts}^{KM} = 0.06^{[9]}$ ,  $m_b = 4.5 \text{ GeV}$ ,  $m_c = 1.5 \text{ GeV}$ ,  $m_s = 0.18 \text{ GeV}$ 。其它输入参数与文献 [2] 相同, 即:  $m_Z = 91.177 \text{ GeV}$ ,  $m_W = 80.1 \text{ GeV}$ ,  $s_W^2 = 0.23$ ,  $G_F = 1.166372 \times 10^{-5} (\text{GeV})^{-2}$ ,  $\alpha_e = \frac{1}{128.8}$ ,  $\alpha_s = 1.4675 / \ln(m_t^2/\Lambda_{QCD}^2)$  ( $\Lambda_{QCD} = 180 \text{ MeV}$ )。现在剩下二个自由参数:  $m_t$ ,  $m_p$ , 根据实验的结果与理论分析<sup>[10]</sup>  $t$  夸克的质量范围为:  $91 \text{ GeV} < m_t < 200 \text{ GeV}$ , 在数值分析时我们取:  $m_t = 100-200 \text{ GeV}$ , 理论上给出色八重态 PGB 的质量表示为  $m_p = 246 \sqrt{\frac{4}{N_{tc}}} \text{ GeV}$  ( $N_{tc}$  为 TC 费米子二重态的数目)。CERN 的  $e^+e^-$  碰撞给出了赝标哥尔斯通玻色子的质量下限<sup>[11]</sup>  $m_p > 40 \text{ GeV}$ 。

数值计算的结果可通过图 2、3 表示。图 2 给出了分支比  $B(t \rightarrow cV)$  随  $m_t$ (100—

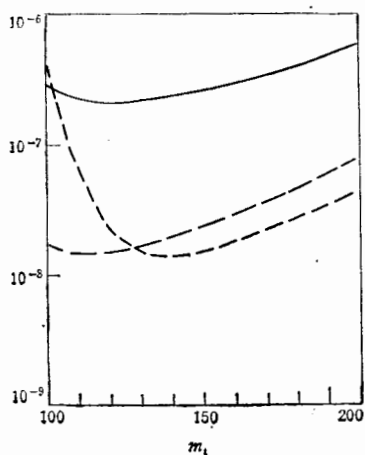


图 2 分支比  $B(t \rightarrow cV)$  随  $m_t$ (100—200 GeV) 变化的曲线,  $m_p = 246 \text{ GeV}$   
--- $B(t \rightarrow cZ)$ , --- $B(t \rightarrow c\gamma)$ , — $B(t \rightarrow cg)$ .

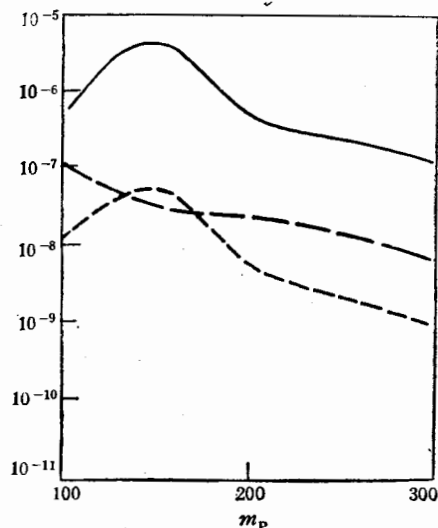


图 3  $B(t \rightarrow cV)$  随  $m_p$ (100—300 GeV) 变化的曲线,  $m_t = 150 \text{ GeV}$   
--- $B(t \rightarrow cZ)$ , --- $B(t \rightarrow c\gamma)$ , — $B(t \rightarrow cg)$ .

200GeV) 变化的曲线, 其中  $m_p = 246\text{GeV}$  (对一代 TC 模型  $N_{TC} = 4$ ). 可以看出: 对复数的  $m_t, t \rightarrow cV$  分支比的数量级分别为:  $B(t \rightarrow cg) \sim 10^{-7}$ ,  $B(t \rightarrow cZ) \sim 10^{-8}$ ,  $B(t \rightarrow c\gamma) \sim 10^{-8}$ , 由此可知, 这种新的 TC 贡献也可将标准模型的贡献提高 3—4 个数量级。图 3 为  $B(t \rightarrow cV)$  随  $m_p$  变化的曲线, 其中取  $m_t = 150\text{GeV}$ ,  $m_p = 100\text{--}300\text{GeV}$ , 可以看出: 对小的  $m_p$ ,  $B(t \rightarrow cg)$  最大可到  $\sim 10^{-6}$ , 随  $m_p$  增大,  $B(t \rightarrow cV)$  显退耦效应。

下面分别列出标准模型 (SM)、双 Higgs 二重态模型 (2HDM)、最小超对称模型 (SUSY QCD, SUSY Charginos)、Technicolor 理论 (TC PGB) 对  $t \rightarrow cV$  分支比的贡献

|                            | SM         | ZHDM      | SUSY QCD  | SUSY Charginos | TC PGB    |
|----------------------------|------------|-----------|-----------|----------------|-----------|
| $B(t \rightarrow cZ)$      | $10^{-12}$ | $10^{-9}$ | $10^{-9}$ | $10^{-8}$      | $10^{-7}$ |
| $B(t \rightarrow c\gamma)$ | $10^{-12}$ | $10^{-8}$ | $10^{-8}$ | $10^{-8}$      | $10^{-8}$ |
| $B(t \rightarrow cg)$      | $10^{-10}$ | $10^{-6}$ | $10^{-6}$ | $10^{-7}$      | $10^{-6}$ |

我们知道, 计划中的 LHC 每年可产生大约  $10^{-7}\text{--}10^{-8}t\bar{t}$  事例, 所以将来在 LHC 上很难探测到  $t \rightarrow cZ$ 、 $t \rightarrow c\gamma$ 。对  $t \rightarrow cg$ , 它的最大分支比可达到  $10^{-6}$ , 因此将来在 LHC 上有可能产生足够的  $t \rightarrow cg$  事例, 但要探测到这种过程需要把它从复杂的背景中分离出来。原则上讲,  $e^+e^-$  直线加速器是探测  $t$  夸克稀有衰变的理想方法, 因为我们能容易地把  $t \rightarrow cV$  事例从背景中分离出来, 但即使对最大的  $t \rightarrow cg$ , 要想探测到这种过程, 需要提高加速器的亮度。

总之, 通过计算发现, TC 理论中的 PGB 可大大提高  $t \rightarrow cV$  的衰变分支比, 这为将来在高能加速器上探测  $t$  夸克的稀有衰变提供了可能, 从而也为探测新物理效应提供了一种很好的实验手段。

作者感谢肖振军、岳崇兴为本文的撰写提供了帮助。

## 参 考 文 献

- [1] J. L. Diaz-Cruz et al., *Phys. Rev.*, **D41**(1990) 891;  
B. Dutta Roy et al., *Phys. Rev. Lett.*, **65**(1990) 827;  
H. Fritzsch, *Phys. Lett.*, **B224** (1989) 423;  
W. Buchmuller, M. Gronau, *Phys. Lett.*, **B220**(1989) 641.
- [2] G. Eilam, J. L. Hewett, A. Soni, MAD/PH/596, *Phys. Rev.*, **D44** (1991) 1473.
- [3] B. Grzadkowski, J. F. Gunion, P. Krawczyk, *Phys. Lett.*, **B268**(1991) 106.
- [4] C. S. Li, R. T. Oakes, J. M. Yang, CQU-TH-93-2.
- [5] S. Weinberg, *Phys. Rev.*, **D13** (1976) 947; **D19**(1979) 1277.  
L. Susskind, *Phys. Rev.*, **D20** (1979) 2619.
- [6] J. Ellis et al., *Nucl. Phys.*, **B182**(1981)529.
- [7] E. Eichten et al., *Rev. Mod. Phys.*, **56**(1984) 650.
- [8] M. Clements et al., *Phys. Rev.*, **D27** (1983)570;  
A. Axelrod, *Nucl. Phys.*, **B209** (1982)349; W. Hollik, DESY 88-188;  
G. Passarino, M. Veltman, *Nucl. Phys.*, **B160**(1979)151.
- [9] Particle Data Group, *Phys. Rev.*, **D45** No. 11(1992).
- [10] CDF Collab., F. Abe et al., *Phys. Rev. Lett.*, **68**(1992)447;  
CDF Collab., F. Abe et al., *Phys. Rev.* **D45**(1992)3921;

- V. Barger, J. L. Hewett, T. G. Rizzo, *Phys. Rev. Lett.* **65** (1990) 1313.  
[11] F. Dyak, in Proceedings of the XXVth International Conference of high Energy Physics, Singapore, 1990 edited by K. K. Phua, Y Yamaguchi (World Scientific Singapore (1991)).

## Contributions of One Generation Technicolor Model to the Rare Decays $t \rightarrow cV$

Wang Xuelei Zhang Yimin Yang Jinmin Lu Gongru

(Department of Physics, Henan Normal University, Xinxiang 453002)

Received 19 April 1994

### Abstract

The contributions of Pseudo-Goldstone Bosons in one generation technicolor model to the rare decays  $t \rightarrow cV$  ( $V = Z, \gamma, g$ ) are calculated. We find that these new contributions can enhance the SM branching fractions by as much as 3—4 orders of magnitude. The branching fractions can reach to:  $B(t \rightarrow cg) \sim 10^{-6}$ ,  $B(t \rightarrow cZ) \sim 10^{-7}$ ,  $B(t \rightarrow c\gamma) \sim 10^{-8}$  for the favorable values of the parameters.

**Key words** technicolor model, pseudo-goldstone bosons (PGB), flavor changing neutral currents (FCNC), rare decay.